# Prácticas con Mefisto Isabel Guillamón Gómez

Ampliación de Electromagnetismo Universidad de Murcia, 2004

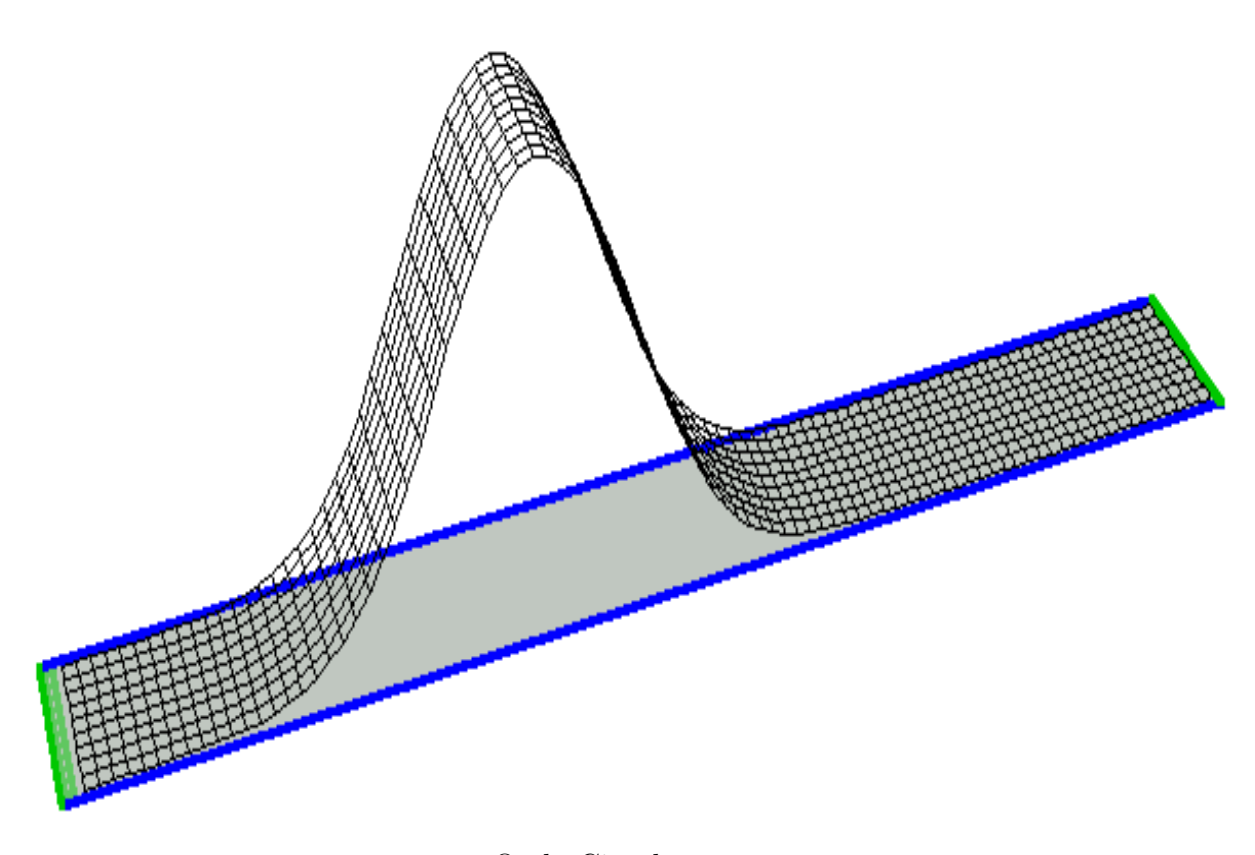
### Índice

1.	Pro	pagación en medios indefinidos: onda circular	3
2.	Propagación en líneas de transmisión homogeneas		
	2.1.	Propagación de ondas TEM: pulsos gaussianos y señales armónicas .	4
		Ondas estacionarias:	5
		2.2.1. Reflexión en un cortocircuito	5
		2.2.2. Reflexión en un circuito abierto	6
		2.2.3. Reflexión parcial en una carga resistiva	7
			8
3.	Propagación en una guía de ondas rectangular		
		Propagación de un modo $TE_{10}$ sinusoidal en una guía rectangular sin	
		pérdidas	9
	3.2.	Reflexión de un modo $TE_{10}$ sinusoidal por un cortocircuito	10
		Reflexión de un modo $TE_{10}$ sinusoidal por un circuito abierto	11
		Reflexión parcial de un modo $TE_{10}$ sinusoidal por una carga resistiva	12
4.	Cavidades resonantes		

### 1. Propagación en medios indefinidos: onda circular

#### 1. Construcción del sistema:

- $Z \times X = 49 \times 49$ , L = 1mm
- **■** *Draw*:
  - Reflection Wall en todos los bordes: TEM Ref. Coef.=0
  - *Source Point*: en (24,24)
  - Computational Region: Toda con eps=1, cond=0
  - Animation Region: Toda menos la fuente
- Source Waveform: Gaussian(T):1/2/10
- Simulation Control: Control Data: 100/1/10
- Sampling Mode:  $V_y = E_y$
- Ejecutar (Desplegar Field: Field Display Attributes)



Onda Circular

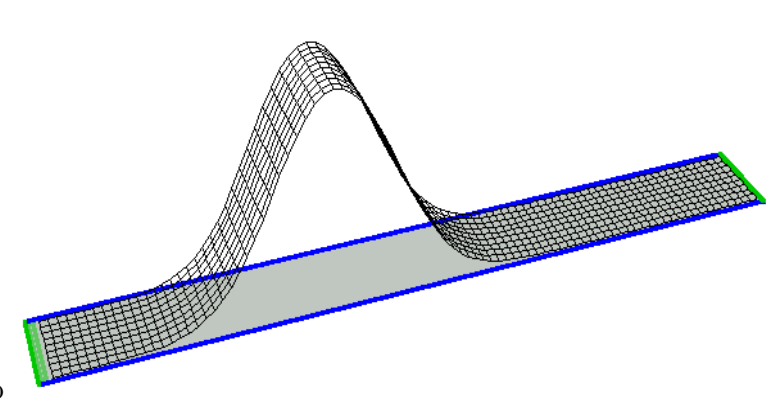
# 2. Propagación en líneas de transmisión homogeneas

### 2.1. Propagación de ondas TEM: pulsos gaussianos y señales armónicas

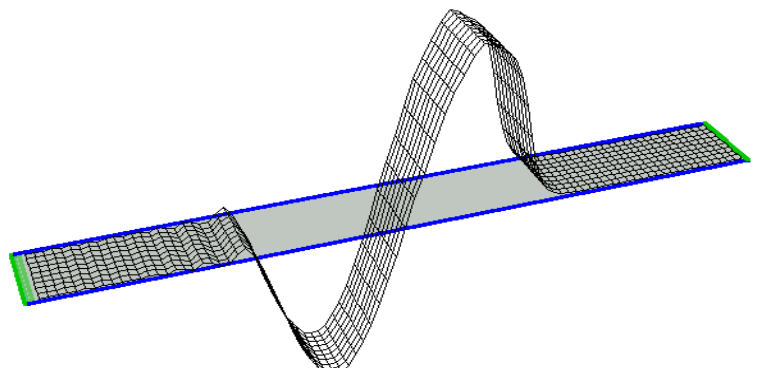
#### 1. Construcción del sistema:

- $Z \times X = 90 \times 11$ , L = 1mm
- *Draw*:
  - Reflection Wall en los bordes izquierdo y derecho: TEM Ref. Coef.=0; y Magnetic Wall en los bordes inferior y superior.
  - Source Region: en la parte izquierda
  - Computational Region: Toda con eps=1, cond=0
  - Animation Region: Toda menos la fuente
- Source Waveform: (a) Gaussian(T):0.5/10/50 ó (b) Sin(T):0.5/50
- Simulation Control: Control Data: 274/10/50
- Sampling Mode:  $V_y = E_y$
- Ejecutar (Desplegar Field: Field Display Attributes)

#### 2. Resultados:



(a) Pulso Gaussiano



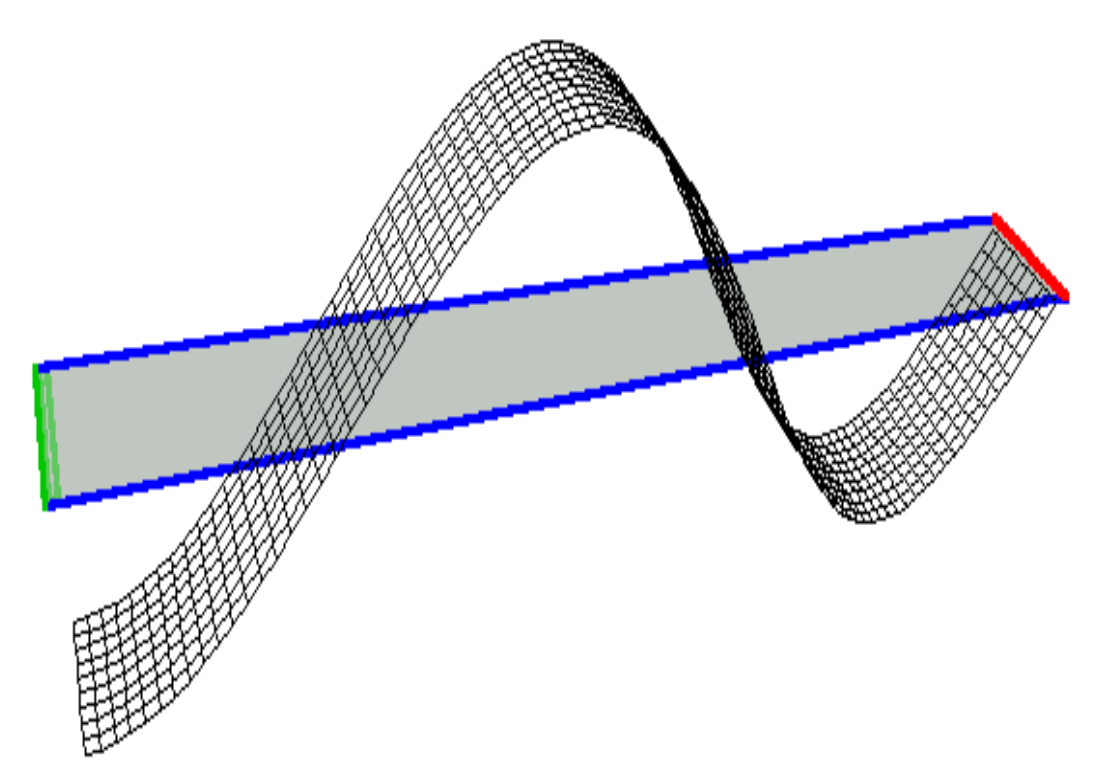
(b) Señal Armónica

#### 2.2. Ondas estacionarias:

#### 2.2.1. Reflexión en un cortocircuito

#### 1. Construcción del sistema:

- $Z \times X = 90 \times 11$ , L = 1mm
- $\blacksquare$  Draw:
  - Reflection Wall en el borde izquierdo: TEM Ref. Coef.=0; Magnetic Wall en los bordes inferior y superior; y Electric Wall en el borde derecho
  - Source Region: en la parte izquierda
  - Computational Region: Toda con eps=1, cond=0
  - Animation Region: Toda menos la fuente
- Source Waveform: Sin(T):1/100
- Simulation Control: Control Data: 1000/5/10
- Sampling Mode:  $V_y = E_y$
- Ejecutar (Desplegar Field: Field Display Attributes)

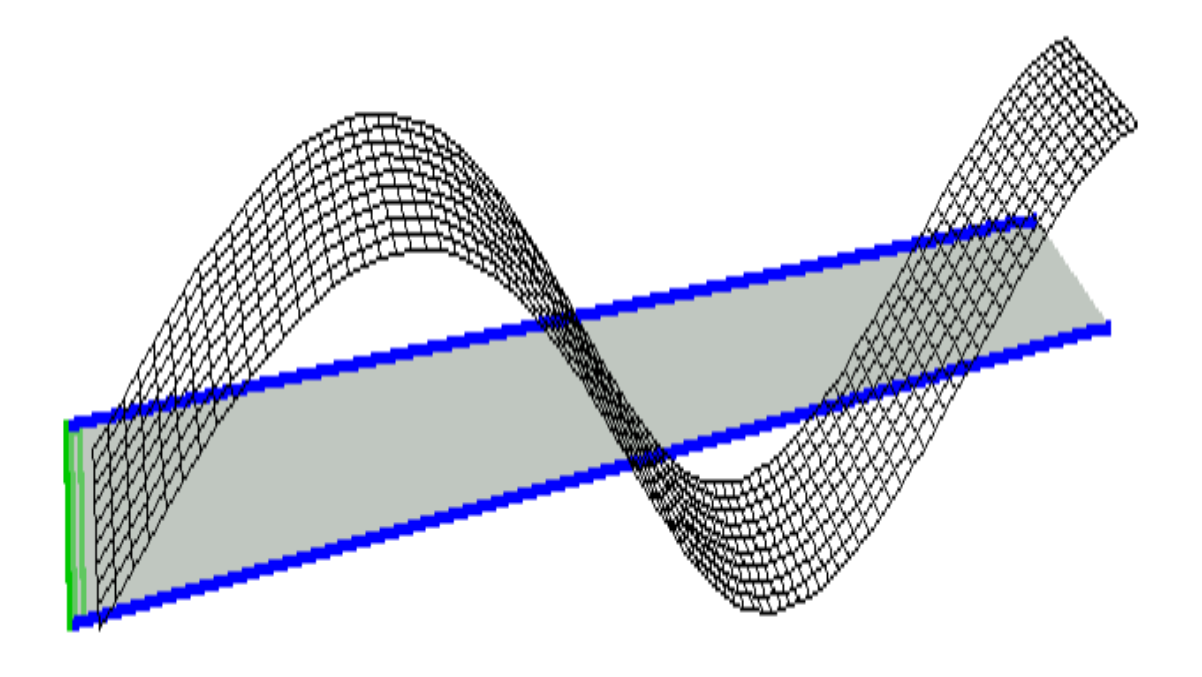


Reflexion en cortocircuito

#### 2.2.2. Reflexión en un circuito abierto

#### 1. Construcción del sistema:

- $Z \times X = 90 \times 11, L = 1mm$
- $\blacksquare$  Draw:
  - Reflection Wall en el borde izquierdo: TEM Ref. Coef.=0; y Magnetic Wall en los bordes inferior y superior
  - Source Region: en la parte izquierda
  - Computational Region: Toda con eps=1, cond=0
  - Animation Region: Toda menos la fuente
- Source Waveform: Sin(T):1/100
- Simulation Control: Control Data: 1000/5/10
- Sampling Mode:  $V_y = E_y$
- Ejecutar (Desplegar Field: Field Display Attributes)

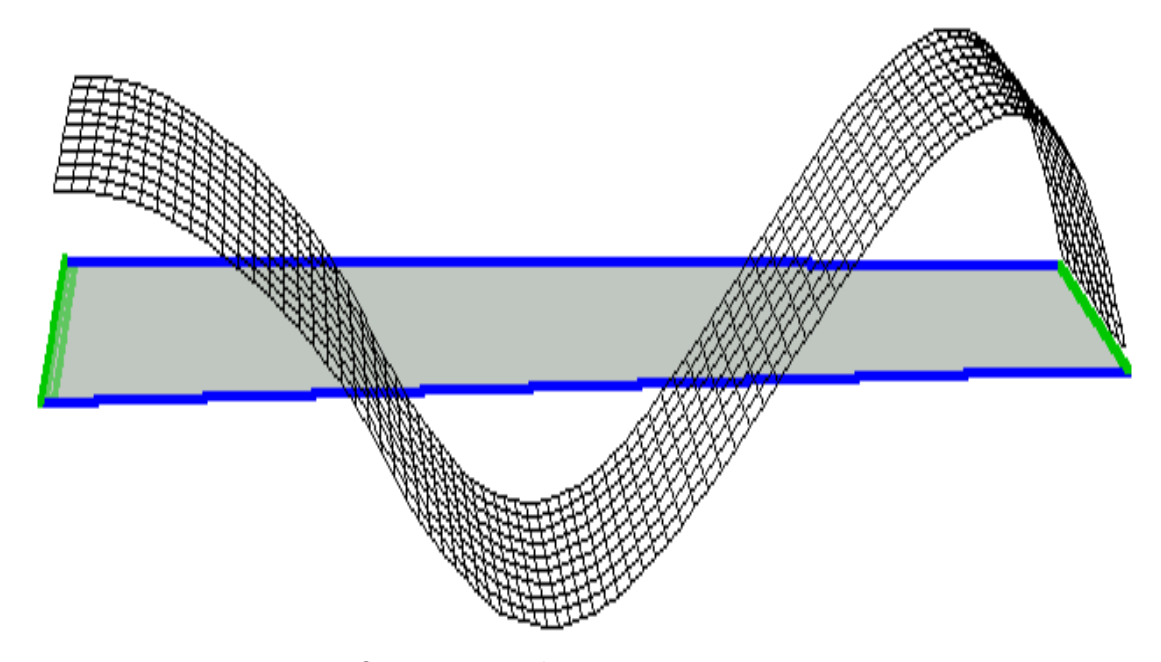


Reflexion en circuito abierto

#### 2.2.3. Reflexión parcial en una carga resistiva

#### 1. Construcción del sistema:

- $Z \times X = 90 \times 11$ , L = 1mm
- $\blacksquare$  Draw:
  - Reflection Wall en el borde izquierdo: TEM Ref. Coef.=0; Reflection Wall en el borde derecho: TEM Ref. Coef.=-0,6; y Magnetic Wall en los bordes inferior y superior
  - Source Region: en la parte izquierda
  - Computational Region: Toda con eps=1, cond=0
  - Animation Region: Toda menos la fuente
- Source Waveform: Sin(T):10.5/50
- Simulation Control: Control Data: 1000/5/10
- Sampling Mode:  $V_y = E_y$
- $\blacksquare$  Ejecutar (Desplegar Field: Field Display Attributes)



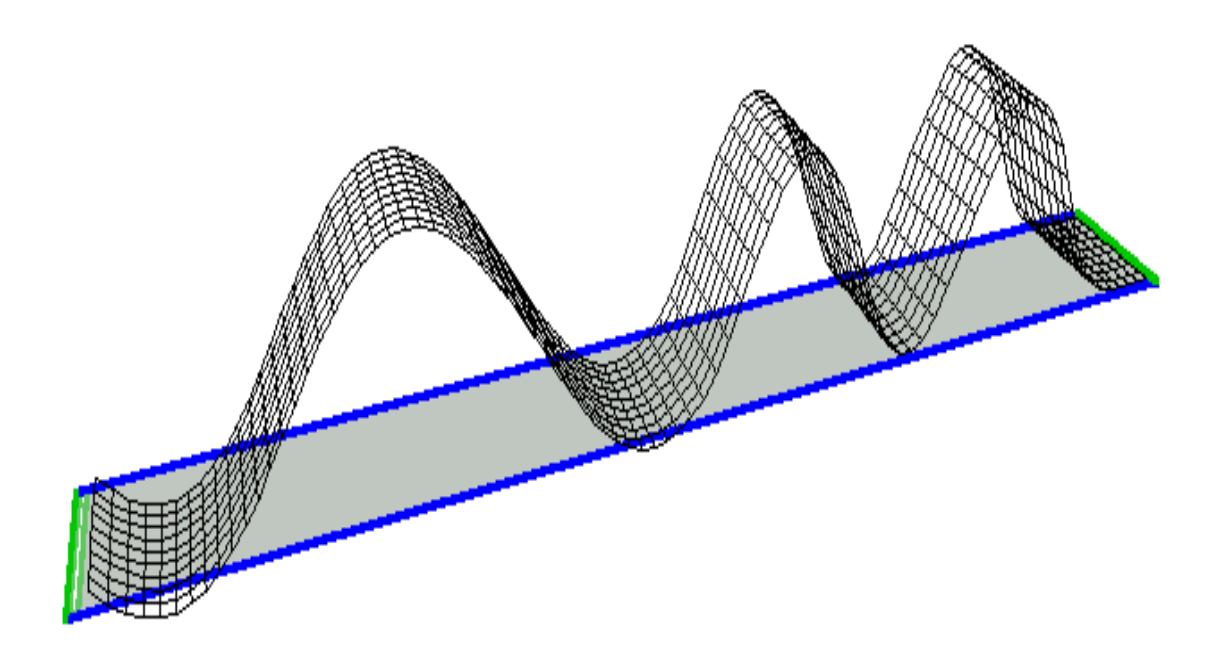
Reflexion parcial en una carga resitiva

#### 2.2.4. Reflexión en una discontinuidad dieléctrica

#### 1. Construcción del sistema:

- $Z \times X = 90 \times 11$ , L = 1mm
- $\blacksquare$  Draw:
  - Reflection Wall en los bordes izquierdo y derecho: TEM Ref. Coef.=0; y Magnetic Wall en los bordes inferior y superior
  - Source Region: en la parte izquierda
  - Computational Region: La mitad izquierda con eps=1, cond=0; y la mitad derecha con eps=3, cond=0
  - Animation Region: Toda menos la fuente
- Source Waveform: Sin(T):1/50
- Simulation Control: Control Data: 1000/5/10
- Sampling Mode:  $V_y = E_y$
- $\blacksquare$  Ejecutar (Desplegar Field: Field Display Attributes)

#### 2. Resultados:



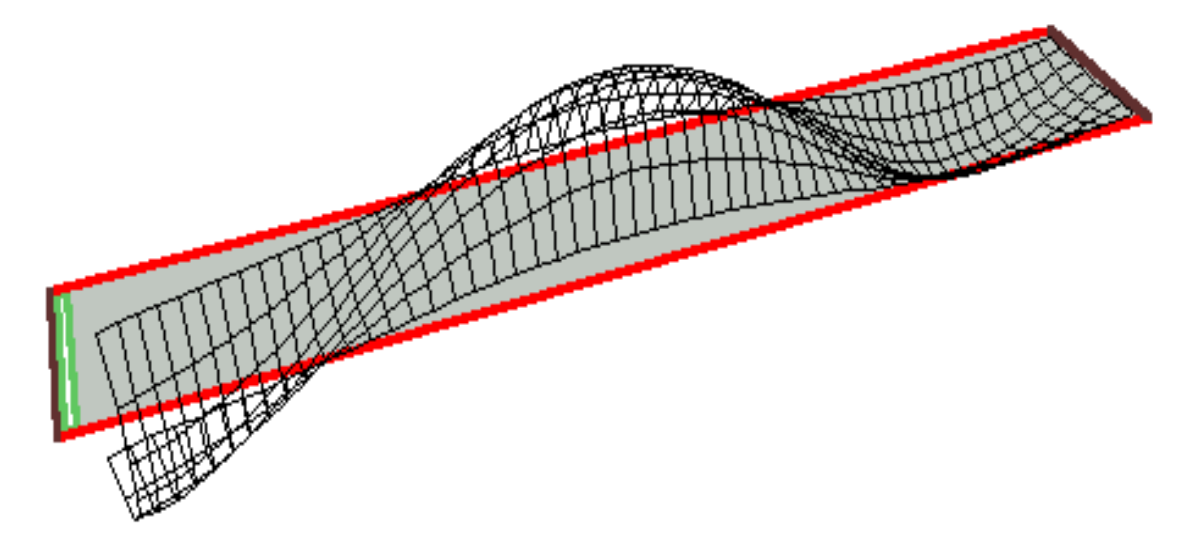
Reflexion en una discontinuidad dieléctrica

### 3. Propagación en una guía de ondas rectangular

# 3.1. Propagación de un modo $TE_{10}$ sinusoidal en una guía rectangular sin pérdidas

#### 1. Construcción del sistema:

- $Z \times X = 60 \times 11, \ L = 0,646545mm$
- **■** *Draw*:
  - Johns Matrix Wall en los bordes izquierdo y derecho del rectángulo entre (1,1) y (58,9); y Electric Wall en los bordes inferior y superior de dicho rectángulo
  - Source Region: en la parte izquierda del rectángulo
  - Computational Region: Todo el rectángulo con eps=1, cond=0
  - Animation Region: Todo el rectángulo menos la fuente
- Source Waveform: Sin(f):1/30
- Simulation Control: Control Data: 500/1/25
- Sampling Mode:  $V_y = E_y$
- Ejecutar (Desplegar Field: Field Display Attributes)



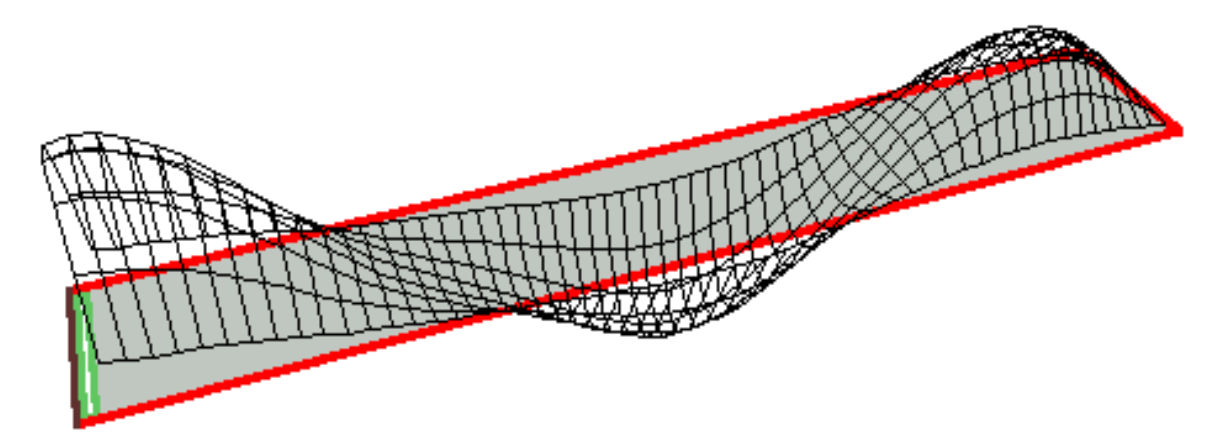
Propagación del modo  $TE_{10}$  en guía rectangular sin perdidas

## 3.2. Reflexión de un modo $TE_{10}$ sinusoidal por un cortocircuito

#### 1. Construcción del sistema:

- $Z \times X = 60 \times 11, \ L = 0,646545mm$
- $\blacksquare$  Draw:
  - Johns Matrix Wall en el borde izquierdo del rectángulo entre (1,1) y (58,9); y Electric Wall en los bordes derecho, inferior y superior de dicho rectángulo
  - Source Region: en la parte izquierda del rectángulo
  - Computational Region: Todo el rectángulo con eps=1, cond=0
  - Animation Region: Todo el rectángulo menos la fuente
- Source Waveform: Sin(f):1/30
- Simulation Control: Control Data: 500/1/25
- Sampling Mode:  $V_y = E_y$
- Ejecutar (Desplegar Field: Field Display Attributes)

#### 2. Resultados:



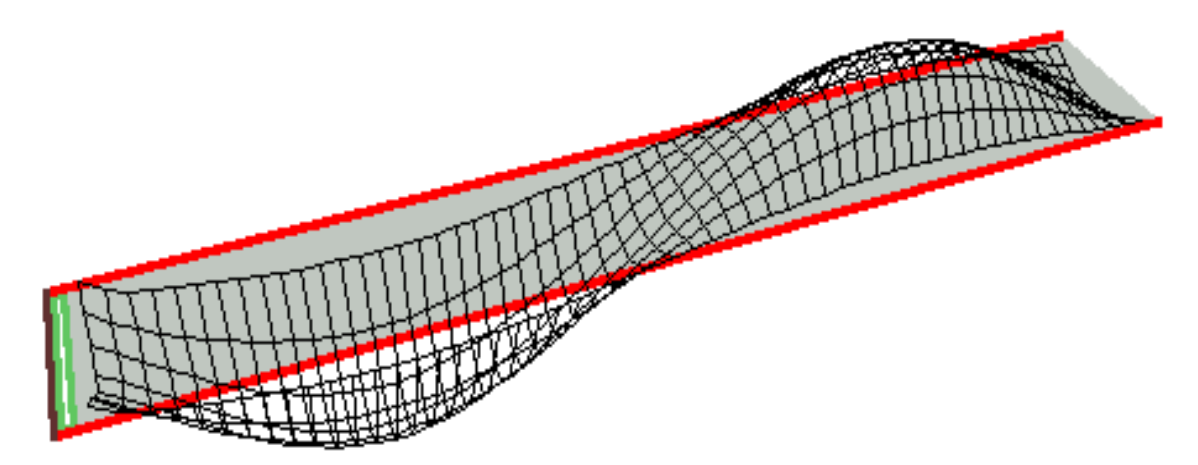
Reflexión del modo  $TE_{10}$  en guía rectangular por cortocircuito

## 3.3. Reflexión de un modo $TE_{10}$ sinusoidal por un circuito abierto

#### 1. Construcción del sistema:

- $Z \times X = 60 \times 11, \ L = 0,646545mm$
- $\blacksquare$  Draw:
  - Johns Matrix Wall en el borde izquierdo del rectángulo entre (1,1) y (58,9); y Electric Wall en los bordes inferior y superior de dicho rectángulo
  - Source Region: en la parte izquierda del rectángulo
  - Computational Region: Todo el rectángulo con eps=1, cond=0
  - Animation Region: Todo el rectángulo menos la fuente
- Source Waveform: Sin(f):1/30
- Simulation Control: Control Data: 500/1/25
- Sampling Mode:  $V_y = E_y$
- Ejecutar (Desplegar Field: Field Display Attributes)

#### 2. Resultados:



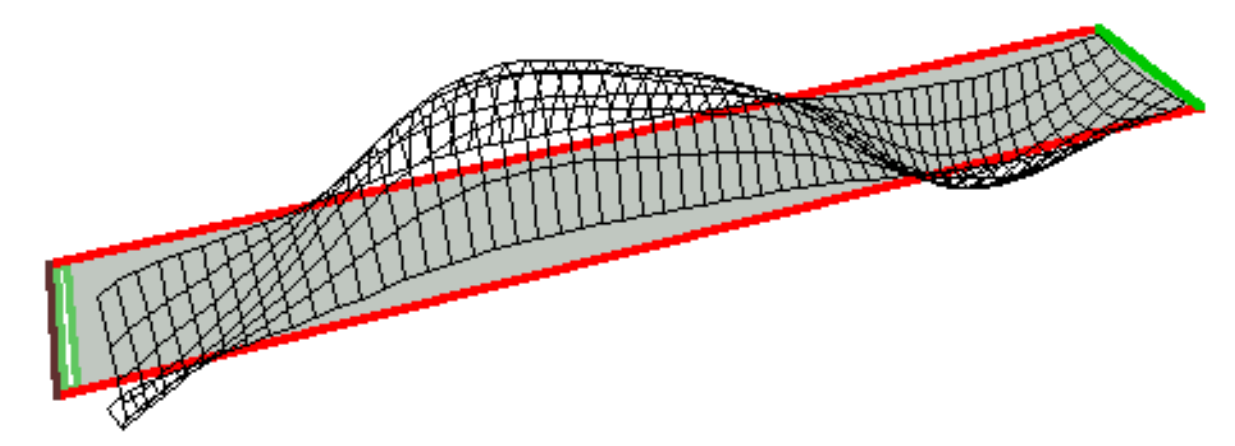
Reflexión del modo  $TE_{10}$  en guía rectangular por circuito abierto

# 3.4. Reflexión parcial de un modo $TE_{10}$ sinusoidal por una carga resistiva

#### 1. Construcción del sistema:

- $Z \times X = 60 \times 11, \ L = 0,646545mm$
- $\blacksquare$  Draw:
  - Johns Matrix Wall en el borde izquierdo del rectángulo entre (1,1) y (58,9); Electric Wall inferior y superior de dicho rectángulo; y Reflexion Wall en el borde derecho: TEM Ref. Coef.=-0,6
  - Source Region: en la parte izquierda del rectángulo
  - Computational Region: Todo el rectángulo con eps=1, cond=0
  - Animation Region: Todo el rectángulo menos la fuente
- Source Waveform: Sin(f):1/30
- Simulation Control: Control Data: 500/1/25
- Sampling Mode:  $V_y = E_y$
- Ejecutar (Desplegar Field: Field Display Attributes)

#### 2. Resultados:

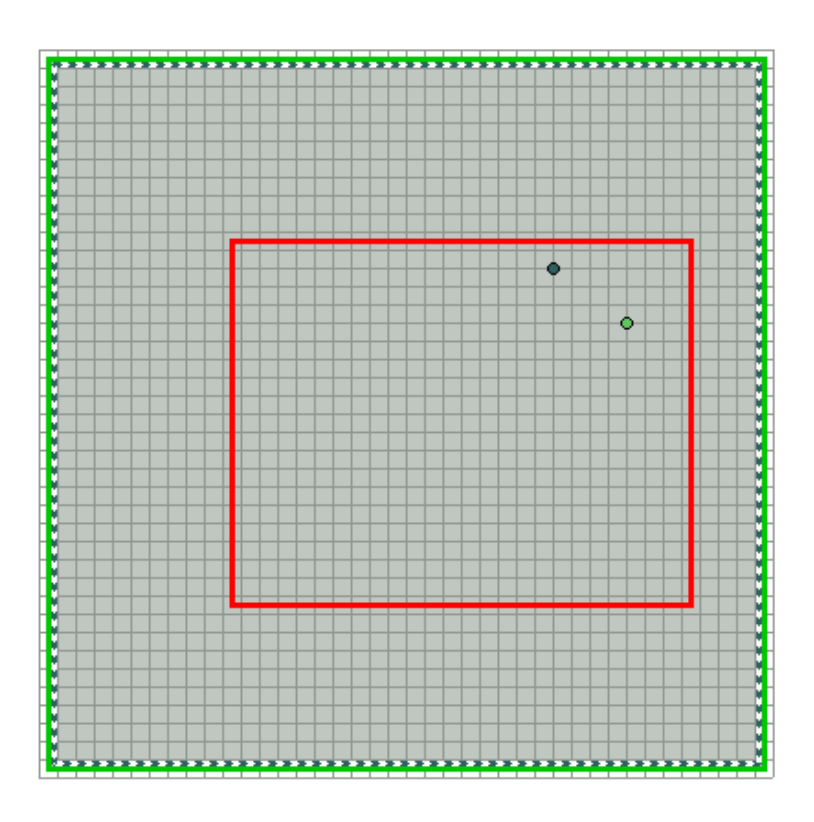


Reflexión parcial del modo  $TE_{10}$  en guía rectangular por carga resistiva

#### 4. Cavidades resonantes

#### 1. Construcción del sistema:

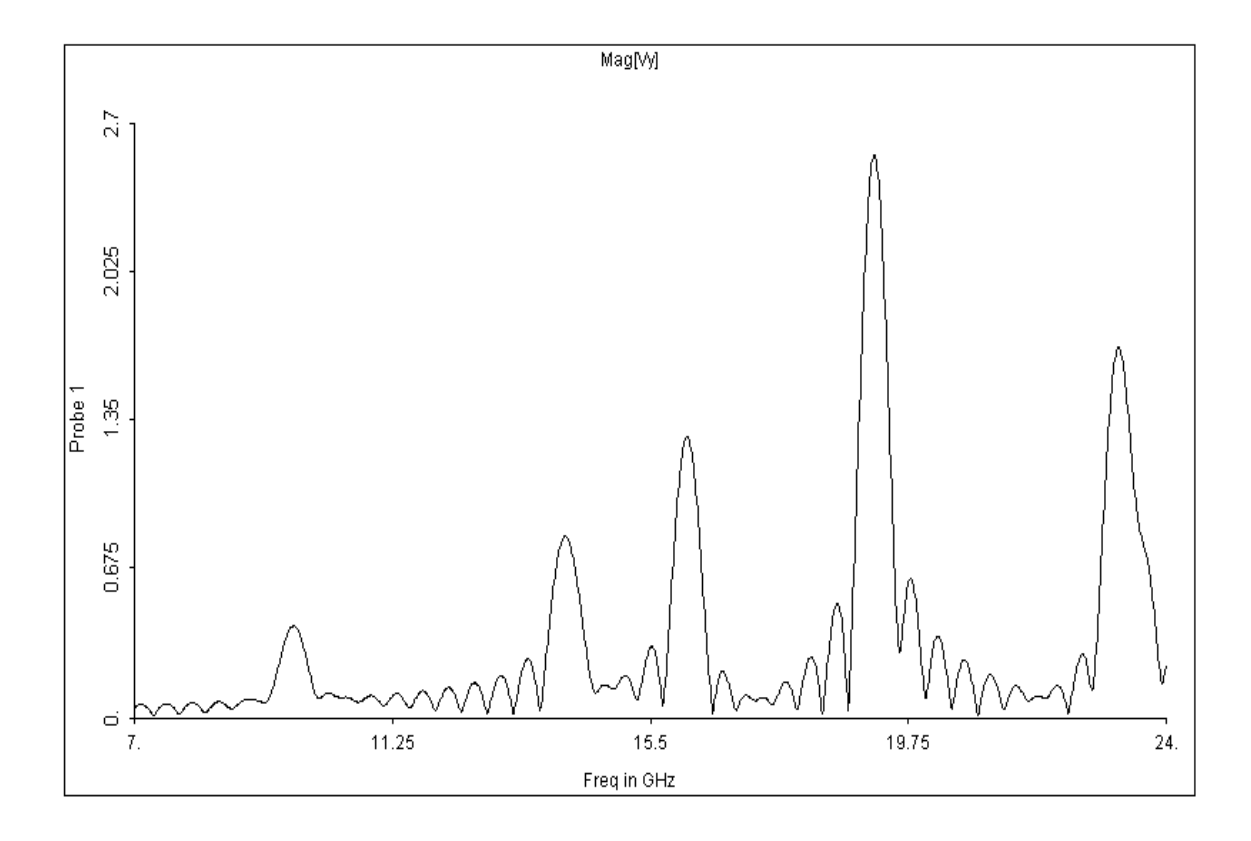
- $Z \times X = 40 \times 40, L = 1mm$
- $\blacksquare$  Draw:
  - $\bullet$ Reflexion Wall en los bordes: TEM Ref. Coef. = 0
  - Source Point: en (32,15) con Node Voltage  $V_y=1$
  - *Probe* en (28,12)
  - Computational Region: Toda con eps=1, cond=0
  - Animation Region: Toda
- Source Waveform: Impulse(T): Magnitude 1
- Simulation Control: Control Data: 1000/50
- Sampling Mode:  $V_y = E_y$
- Ejecutar (Desplegar Field: Field Display Attributes)



2. Resultados: Los resultados teóricos y los obtenidos con Mefisto son:

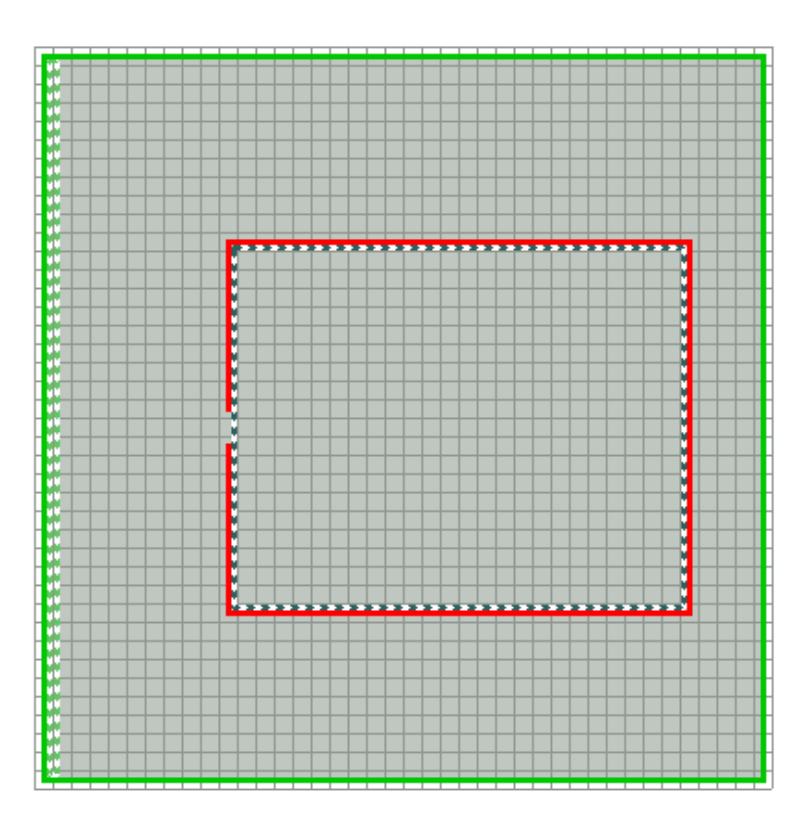
TE	$f_{Th}$ (GHz)	$f_{Mef}$ (GHz)
101	9,59497	9,590
102	$14,\!13666$	14,134
201	16,13915	16,112
202	19,18994	19,196
103	19,48027	19,452
301	23,26271	23,161
203	$23,\!40705$	23,390

Para obtener estos resultados hemos ido variando la localización de la fuente y la prueba. Un ejemplo de espectro que hemos obtenido es:



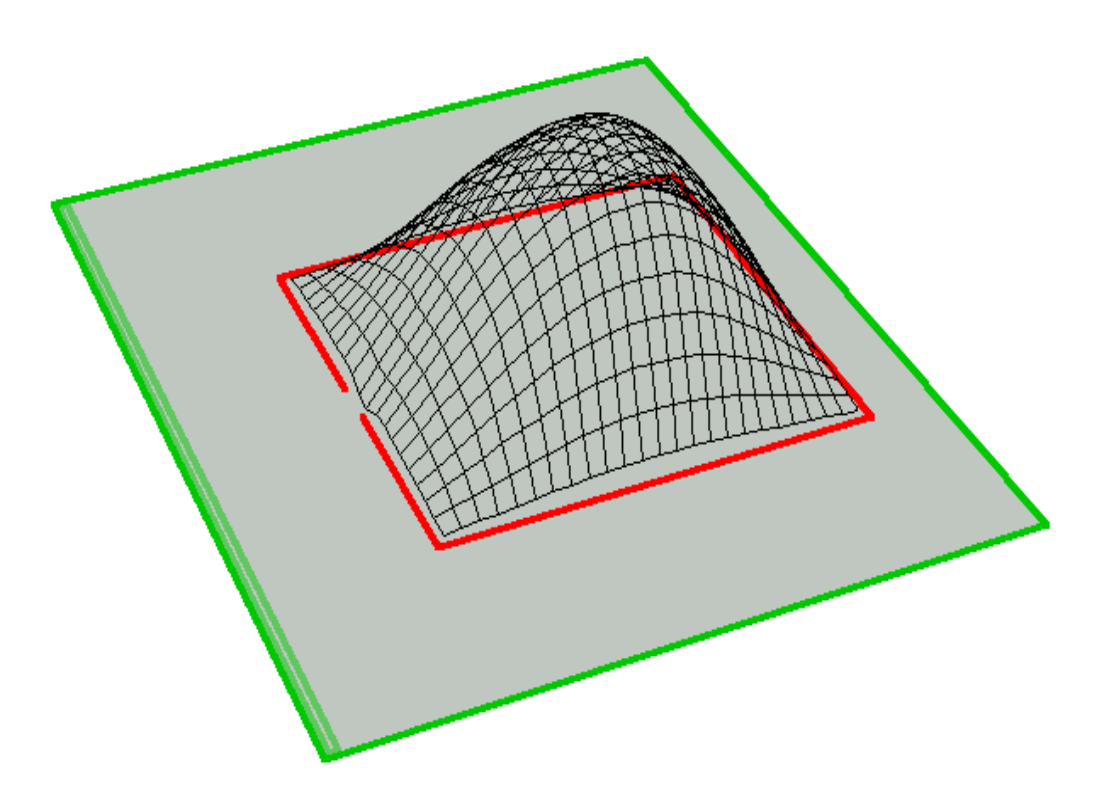
### 3. Comprobación de las resonancias y visualización de las distribuciones asociadas a los modos.

Para ello vamos a introducir un iris por donde excitar a la cavidad y una region de alimentación sinusoidal (a la izquierda, ocupando todo el alto de la región), tras haber eliminado la fuente y prueba del sistema anterior. El iris (ausencia de pared eléctrica) ocupa del (10,19) al (10,21) y restringimos la región de animación al interior de la cavidad.

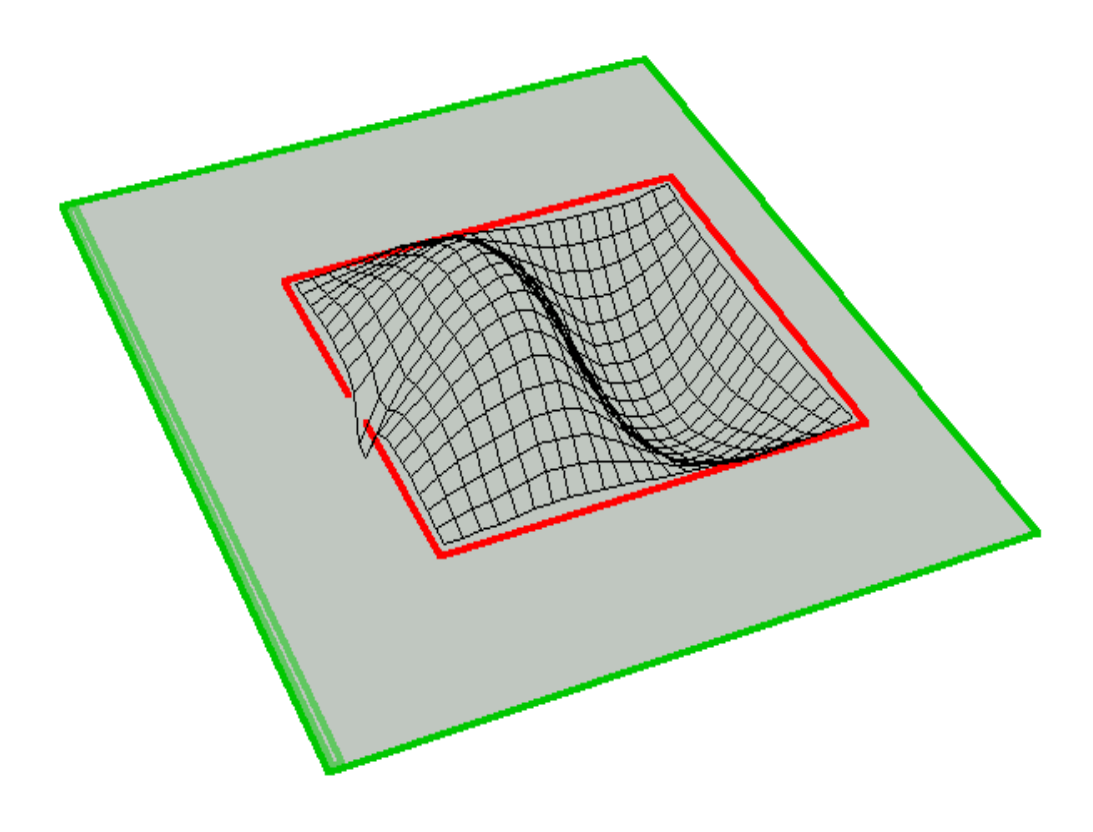


#### 4. Resultados para los primeros modos:

 $\blacksquare$  Modo  $TE_{101}$ : Excitado a la frecuencia de 9,6 GHz



 $\blacksquare$  Modo  $TE_{102}$ : Excitado a la frecuencia de 14,1 GHz



- Modo  $TE_{201}$ : Probado a la frecuencia de 16,1 GHz. No se excita ya que tiene un nodo en la región del iris. Con carácter general no se excitarán los modos con primer índice par.
- Modos  $TE_{202}$  y  $TE_{103}$ : Probados a las frecuencias de 19,2 y 19,5 GHz. Sólo aparece en modo  $TE_{103}$ . El otro no se excita por la razon dada anteriormente.

